Том 206

ЭКСПЕРИМЕНТАЛЬНОЕ ИССЛЕДОВАНИЕ ДИСПЕРСИОННЫХ СВОЙСТВ ДВУХРЯДНОЙ ЛЕСТНИЧНОЙ СИСТЕМЫ В КРУГЛОМ ВОЛНОВОДЕ

А. Н. ДИДЕНКО, Р. Г. КАМИНСКАЯ

Выбору ускоряющей системы кибернетического ускорителя посвящен ряд работ [1—3]. В этих работах предлагались ускоряющие системы в виде круглых диафрагмированных волноводов, с разрезами и трубками дрейфа, ускоряющие системы типа «клеверный лист», штыревые системы и системы типа двухрядной лестничной структуры.

Если частота ускоряющего поля изменяется в процессе ускорения, то из всех этих систем предпочтение отдают ускоряющей системе типа двухрядной лестничной структуры в круглом волноводе (системе Шнелля) [2]. Экспериментальное сравнение этой системы с ускоряющей системой типа круглого диафрагмированного волновода приведено в [3]. Однако в теоретическом отношении система Шнелля остается мало исследованной до сих пор.

В [4] была сделана попытка аппроксимировать круглый волновод прямоугольным волноводом с выступами, как показано на рис. 1. Параметры прямоугольного волновода с выступами выбирались таким образом, чтобы: а) высота волновода с выступами равнялась диаметру волновода, а периметр равнялся периметру круглого волновода и б) высота волновода с выступами равнялась диаметру круглого волновода, а сумма площадей двух квадратов равнялась площади поперечного сечения круглого волновода. В этом случае расчет можно проводить так же, как расчет замедляющих систем типа лестниц в прямоугольном волноводе.

Расчет таких систем удобнее проводить методом многопроводных линий [5]. В этом случае делается предположение, что в системе существуют только волны ТЕМ (относительно направления штырей), записываются выражения для полей в каждой из частных областей и проводится сшивание их по границе раздела [6]. Дисперсионные уравнения такой системы для симметричных и антисимметричных волн имеют вид:

$$\frac{Y_1(\Theta)}{Y_2(\Theta)} = \operatorname{tg} \kappa h_1 \cdot \operatorname{tg} \kappa h_2, \tag{1}$$

$$\frac{Y_1(\Theta)}{Y_2(\Theta)} = -\frac{\operatorname{tg} \kappa h_1}{\operatorname{tg} \kappa h_2}.$$
 (2)

Каждому из этих уравнений соответствует определенное распределение потенциала вдоль проводника. Так, например в уравнении (1) выра-

жения для потенциала и тока в каждой области можно записать в следующем виде:

для синфазной волны

1 m

$$V_{n}^{(1)}(y) = B_{0}^{(1)} \sin \kappa y e^{-jn\Theta},$$

$$I_{n}^{(1)}(y) = j B_{0}^{(1)} Y_{1}(\Theta) \cos \kappa y e^{-jn\Theta},$$

$$V_{n}^{(2)}(y) = B_{0}^{(1)} \frac{\sin \kappa h_{1}}{\cos \kappa h_{2}} \cos (y - h_{1} - h_{2}) e^{-jn\Theta},$$

$$I_{n}^{(2)}(y) = -j B_{0}^{(1)} \frac{\sin \kappa h_{1}}{\cos \kappa h_{2}} Y_{2}(\Theta) \sin \kappa (y - h_{1} - h_{2}) \cdot e^{-jn\Theta},$$

$$V_{n}^{(3)}(y) = -B_{0}^{(1)} \sin \kappa (y - 2h_{1} - 2h_{2}) e^{-jn\Theta},$$

$$I_{n}^{(3)}(y) = -j B_{0}^{(1)} Y_{1}(\Theta) \cos \kappa (y - 2h_{1} - 2h_{2}) e^{-jn\Theta};$$
(3)

для противофазной волны:

$$V_{n}^{(1)}(y) = B_{0}^{(1)} \cos \kappa y e^{-jn(\Theta-\pi)} ,$$

$$I_{n}^{(1)}(y) = jB_{0}^{(1)} Y_{1}(\Theta) \sin \kappa y e^{-jn(\Theta-\pi)} ,$$

$$V_{n}^{(2)}(y) = B_{0}^{(1)} \frac{\sin \kappa h_{1}}{\cos \kappa h_{2}} \sin \kappa (y - h_{1} - h_{2}) e^{-jn(\Theta-\pi)} ,$$

$$I_{n}^{(2)}(y) = -jB_{0}^{(1)} Y_{2}(\Theta) \frac{\sin \kappa h_{1}}{\cos \kappa h_{2}} \cos \kappa (y - h_{1} - h_{2}) e^{-jn(\Theta-\pi)} ,$$

$$V_{n}^{(3)}(y) = -B_{0}^{(1)} \cos \kappa (y \cdot 2h_{1} - 2h_{2}) e^{-jn(\Theta-\pi)} ,$$

$$I_{n}^{(3)}(y) = -jB_{0}^{(1)} Y_{1}(\Theta) \sin \kappa (y - 2h_{1} - 2h_{2}) e^{-jn(\Theta-\pi)} .$$

$$(4)$$

Аналогично получается и для уравнения (2). Так как в период замедляющей системы входит один проводник, то полагают N=1, $\nu=0$, $\Theta=\psi$. Для уравнения (1) распределение потенциала относительно центра проводника имеет симметричный характер, для уравнения (2) — антисимметричный.

Подставляя в формулы (1) и (2) выражения для $Y(\Theta)$, вычисленные в [6] или более точно в [7], получают дисперсионные уравнения для различных видов колебания. Согласно [6] выражению для волноводных проводимостей

$$Y_{i}^{\text{сииф}}(\psi) = 4\frac{b}{q}\sin^{2}\frac{\psi}{2} + 2\sin\frac{\psi}{2}\frac{p-q}{p}\cdot\sum_{s=-\infty}^{\infty}(-1)^{s}\frac{\sin\frac{(\psi+2\pi S)}{2}\cdot\frac{q}{p}}{\frac{(\psi+2\pi S)}{2}\cdot\frac{q}{p}}\times \frac{\sin\frac{(\psi+2\pi S)}{2}\frac{(p-q)}{p}}{\frac{(\psi+2\pi S)}{2}\frac{(p-q)}{p}}\left[\coth(\psi+2\pi S)\frac{Wi}{p} + \tan\frac{(\psi+2\pi S)}{2p}\frac{Q}{p}\right],$$

$$Y_{i}^{\text{прот}}(\psi) = 4\frac{b}{q}\sin^{2}\frac{\psi}{2} + 2\frac{p-q}{p}\sin\frac{\psi}{2}\sum_{s=-\infty}^{\infty}(-1)^{s}\frac{\sin\frac{(\psi+2\pi S)}{2}\frac{q}{p}}{\frac{\psi+2\pi S}{2}\cdot\frac{q}{p}}\times \frac{q}{p}$$

$$\times \frac{\sin(\psi + 2\pi S)\frac{(p-q)}{p}}{\frac{(\psi + 2\pi S)}{2}\cdot\frac{(p-q)}{p}} \left[\coth(\psi + 2\pi S)\frac{Wi}{p} + \coth\frac{(\psi + 2\pi S)}{2} \cdot \frac{a}{p} \right]. \quad (5)$$

Используя эти выражения, можно определить зависимость f от Ψ для различных типов колебаний.

Расчеты проводились для круглого волновода с параметрами $D=80\,$ мм, $P=27.5\,$ мм, $a=8\,$ мм, $b=6\,$ мм. При аппроксимации круглого волновода волноводом с выступами выбирали

1)
$$h_1/h_2 = 0.417$$
 (puc. 1), 2) $h_1/h_2 = 1$

В первом случае площадь круглого волновода от прямоугольного отличалась на 2,59%. Если круглый волновод аппроксимировать прямоугольными волноводами с $h_1/h_2=1$, то разница в площадях составляет 4,5%.

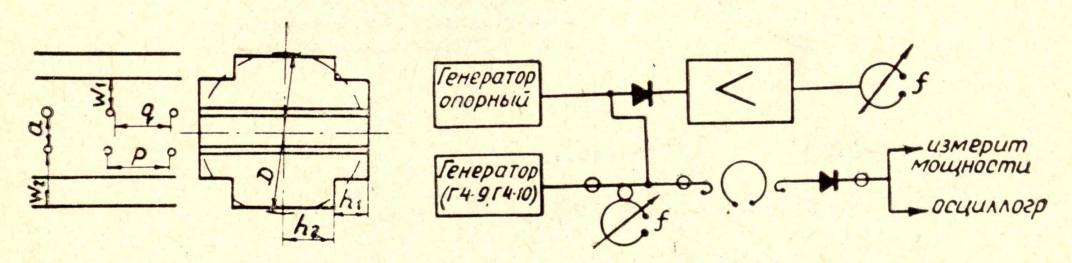


Рис. 1.

Рис. 2. Блок-схема измерительной установки

Экспериментальное исследование круглого волновода с двухрядной лестничной структурой проводилось на установке, блок-схема которой приведена на рис. 2. Вид колебания определялся по распределению компонент поля вдоль всех осей методом возмущающих тел. В результате эксперимента было установлено существование синфазного симметричного, синфазного антисимметричного, противофазного симметричного и противофазного асимметричного видов колебания. Наиболее длинноволновым является синфазный симметричный вид, который является рабочим видом. Экспериментальные зависимости f от ф для различных видов колебаний для нескольких рабочих зон приведены на рис. 3.

Полученные при аппроксимации первым способом расчетные и экспериментальные зависимости коэффициента замедления для всех типов колебаний приведены на рис. 4. Как видно из рисунка, хорошее совпадение расчетных и экспериментальных результатов получено только для синфазного симметричного вида колебаний. Для остальных же типов данный расчет дает большую ошибку, что является следствием как неточности расчета волновых проводимостей для системы с тонкими штырями, так и за счет изменения граничных условий, которые наиболее существенно влияют на высшие типы колебаний.

Экспериментальные и расчетные зависимости λ от ψ для обеих аппроксимаций синфазного симметричного типа колебания приведены на рис. 5. Как видно из рисунка, расчетные результаты хорошо совпадают с экспериментальными, и вторая аппроксимация дает более удовлетворительное соответствие.

Эффективность модели ускоряющей системы для синфазного симметричного вида на $\frac{\pi}{2}$ виде колебания $\frac{R_{\rm m}}{Q}=4,58~\kappa$ ом/м, на $\frac{2\pi}{3}$

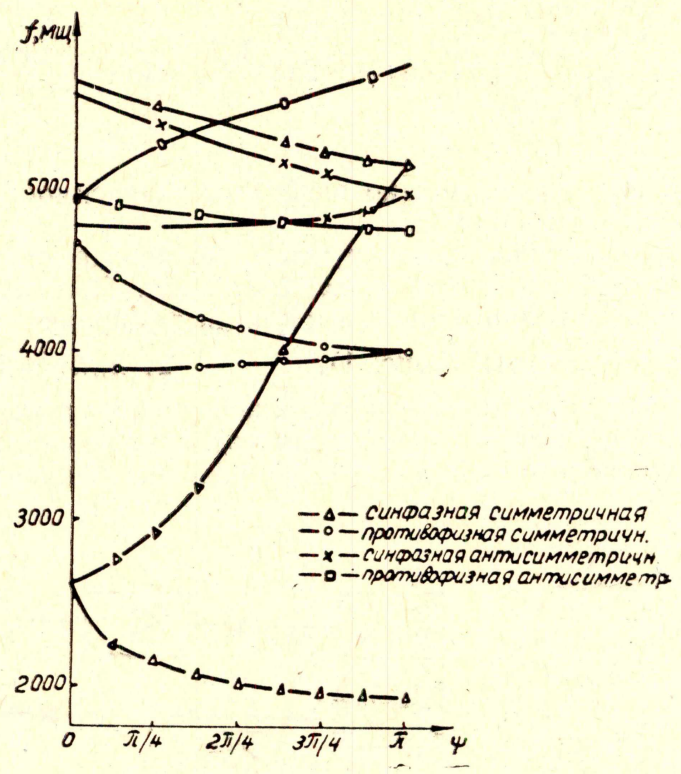


Рис. 3. Зависимости f от Ψ для различных типов волн

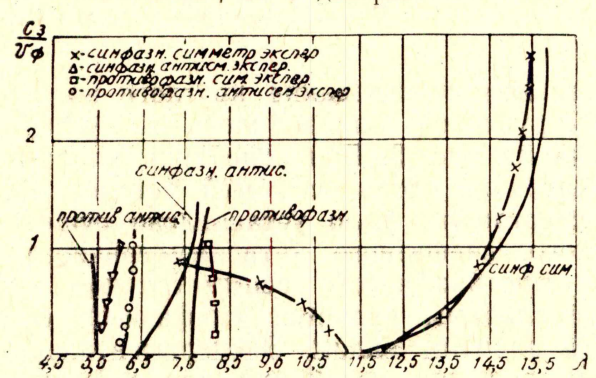


Рис. 4. Расчетные и экспериментальные зависимости коэффициента замедления

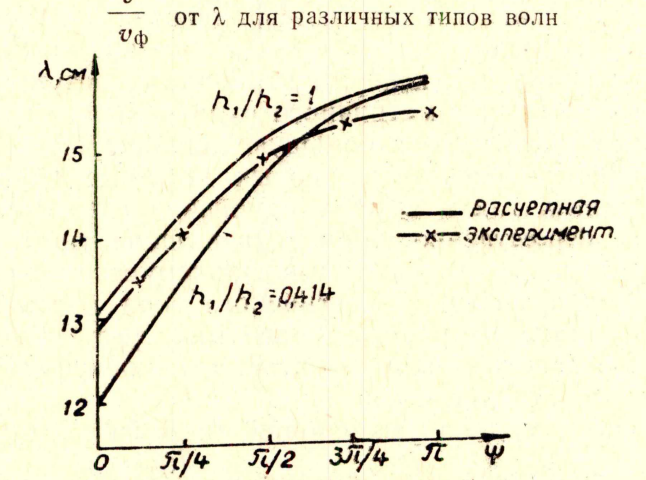


Рис. 5. Расчетная и экспериментальная зависимости λ от Ψ для синфазной симметричной волны

виде колебания $\frac{R_{\rm m}}{Q} = 9.6 \ \kappa o M/M$.

Эффективность круглого диафрагмального волновода для этой же длины волны на $\pi/2$ виде колебания $\frac{R_{\rm m}}{Q} = 4.2$ ком/м, для $\frac{2\pi}{3}$ колебания $\frac{R_{\text{ш}}}{Q} = 4,6$ ком/м [8].

Итак, экспериментальное исследование дисперсионных свойств двухрядной лестничной системы в круглом волноводе показало, что приближенный расчет, предложенный в [4], хорошо согласуется с экспериментальными данными и может быть использован для расчета синфазного симметричного типа колебания.

ЛИТЕРАТУРА

1. Научные труды РАИАН, том IX, вып. 2, М., 1967. 2. W. Schnell. Труды V Межвузовской конференции по ускорителям. Фраскати, 1965.

3. Ю. А. Хлестков, А. В. Шальнов. Сб. Ускорители, ХІ вып. МИФИ, Атом-

издат, 1969 4. Ю. Г. Альтшулер, А. С. Тараненко, Р. И. Скородумов. Изв. вузов, Радиофизика, IV; 1, 126, 1961.

6. А. Н. Диденко. Докторская диссертация, Томск, 1966. 7. Б. В. Зверев, Н. И. Нечаев. Ускорители, XI вып. МИФИ. Атомиздат, 1969.